

## 新农药环境化学行为研究\*

### ——除草剂绿草定(Triclopyr)在土壤-水环境中的吸附和光解

刘维屏 王琪全

(浙江大学化学系,杭州 310027) (浙江省工业环保设计所,杭州 310005)

方卓

**文 摘** 研究土壤、腐殖酸、粘土矿对绿草定的吸附及溶液中的光降解的结果表明:吸附强弱与土壤理化特性密切相关,Freundlich 常数  $k_f$  与  $(3 \cdot OM\% + Clay\%)pH^3$  有较好的相关性( $r = 0.997$ );腐殖酸较粘土矿的吸附容量大;绿草定在土壤中的吸附可能有离子键、氢键、配位键及偶极-偶极作用等。太阳光中小于 330nm 波长的光对降解有效,波长 254nm 的光对绿草定的降解作用是波长 300nm 光的 3.5 倍。

**关键词** 绿草定,土壤,腐殖酸,粘土矿,吸附,光解。

绿草定(Triclopyr; 3,5,6-三氯-2-吡啶氧乙酸)主要用于森林、橡胶林、棕榈林及高速公路、铁路旁防除木本植物和阔叶杂草,亦可与 2,4-D 混合用于水稻或小麦田除草<sup>(1)</sup>。该除草剂应用广泛,有发展前景。

有机农药在环境中的归宿、土壤组份对其的吸附是一个极为重要的因素<sup>(2,3)</sup>。农药在土壤表面的集合力,也是影响它生物活性的重要方面<sup>(4)</sup>。我们研究了绿草定在 6 类不同理化特性的土壤上的吸附,借助 FTIR 技术研究  $Ca^{2+}$ 、 $K^+$ 、 $Na^+$  离子饱和的粘土矿与绿草定的作用机理,比较土壤粘土矿与腐殖酸对绿草定的吸附强弱。另外,研究了模拟太阳光条件下绿草定在水中的降解动力学。通过这些研究,以期深入了解绿草定在土壤—水环境中迁移、转化规律,明了其潜在的影响。

### 1 试验部分

#### 1.1 试验材料

绿草定工业品(纯度 91.2%),标准品(纯度 99.3%),均由 Dow Chemical 公司提供;乙腈为液相色谱溶剂;其余化学试剂均为分析纯试剂。供试的 6 类土壤根据不同理化性质选定,具体理

化性质见表 1。腐殖酸由 2# 土壤,经 HCl 酸洗、1M NaOH 碱提、酸沉淀及膜渗析除  $Cl^-$  后得到腐殖酸晶体<sup>(5)</sup>;粘土矿由美国怀俄明 Word's Natural Science Establishment 提供的(No. 25)蒙脱石(Montmorillonite),由沉降法选得粒度小于 2 $\mu m$  的纯粘土矿(阳离子的交换容量为 90.2 meq/100g),分别以 1M 的  $CaCl_2$ 、 $KCl$  和  $NaCl$  溶液进行单离子饱和,用去离子水洗涤至无  $Cl^-$ 。

#### 1.2 仪器及设备

高效液相色谱仪(HPLC),美国 Waters 510 型,配 Waters 490 可程序化紫外可见光检测器。所有控制及数据处理由 Baseline810 软件在 NEC APC N 微机上进行。色谱柱为 Waters μBondpak C<sub>18</sub> (10 $\mu$ ) 4 id × 300 mm 分析柱;流动相:乙腈/水(70/30, V/V, 由磷酸调 pH 至 2.5~3.0), 流量为 1 cm<sup>3</sup>/min; 检测器波长 295 nm; 该条件下的保留时间为 4.12 min。

红外光谱仪(FTIR),美国 Nicolet - 205 型。

收稿日期:1994-2-6

\* 浙江省自然科学基金(393206)及国家教委留学回国人员基金(1993:360)项目

表1 供试土壤的理化性质

土壤编号	1	2	3	4	5	6
有机质(%)	25.60	16.10	5.51	2.40	1.69	1.43
粘土矿(%)	30.68	14.60	2.06	9.10	46.58	23.63
pH(S:W1:1)	4.60	5.44	4.72	5.24	7.21	7.40
砂 粒(%)	5.09	32.90	67.85	70.10	16.44	32.56
淤 泥(%)	24.86	26.20	23.55	16.80	29.92	38.73
水 分(%)	13.77	10.20	1.60	5.37	2.40	3.65
CEC(meq/100g)	53.32	17.62	9.48	4.03	23.73	17.92

离心机:美国产 Backman J2-21 和 Backman L5-50B型。

光解器:美国 Rayonet 公司生产,光源为 Philips 公司生产 RUL-2540Å 和 RUL-3000Å,采用 3×8W。光解管及光源能量分布见图 1、2。

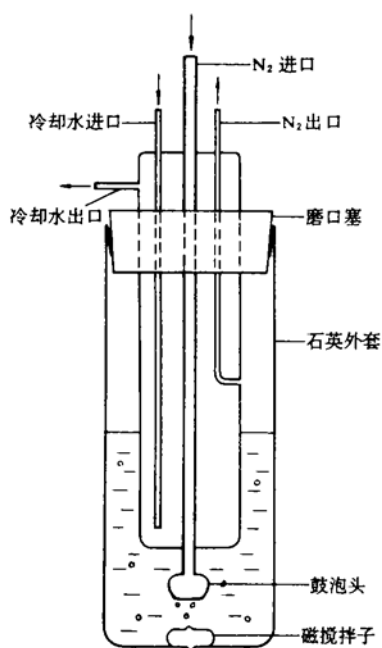


图1 光解管示意

### 1.3 实验过程

#### 1.3.1 土壤吸附

5g 土样( $\Phi<1.0\text{mm}$ )加绿草定水溶液 5mL 于 25mL 聚乙烯离心管中,25±1°C 环境下机械振摇 24h,而后在 J2-21 型离心机上以 25000 r/min 离心 15min,上层清液过滤后立即进

HPLC 分析绿草定浓度。由吸附前后溶液的浓度变化计算土壤上的吸附量。

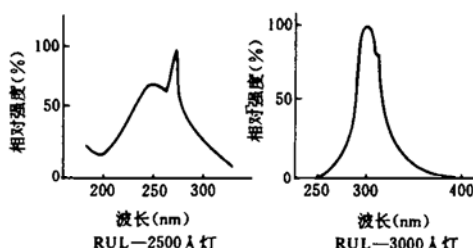


图2 灯光谱能量分布示意

#### 1.3.2 腐殖酸、粘土矿吸附

试验方法基本同土壤吸附,但腐殖酸、粘土矿仅取样 50mg,吸附 24h 后在 L5-50B 型离心机上以 4000r/min 速度离心 10min,其余均同 1.3.1。

#### 1.3.3 FTIR 法研究粘土矿的吸附

分别称取 100mg  $\text{Ca}^{2+}$ 、 $\text{K}^+$ 、 $\text{Na}^+$  离子饱和的粘土矿于 25mL 离心管中,加水 10mL,以磁力搅拌成溶胶状,采用减压抽滤法制得  $\Phi 60\text{mm}$  自载膜两张。空气干燥后,一半放入 1% 绿草定  $\text{CHCl}_3$  溶液,另一半放入  $\text{CHCl}_3$ 。过 24h 后,吸附农药的一半反复用  $\text{CHCl}_3$  淋洗,待  $\text{CHCl}_3$  挥发干后,分别测定 FTIR 差谱。

#### 1.4 光解试验

以  $100\mu\text{m}$  的绿草定水溶液在光解器中以 RUL-2540 Å 灯和 RUL-3000 Å 灯辐照,定时测定绿草定的残留量。以 RUL-3000 Å 光源辐照时,亦作添加 1% 丙酮(敏化剂)进行比较。

## 2 结果与讨论

### 2.1 土壤上的吸附等温线

通过试验发现,绿草定在土壤上的吸附在前15h基本达到吸附平衡。在试验中,为保证充分平衡,选择24h,分析测定未发现降解产物。该条件下6类土壤上的吸附等温线见图3。

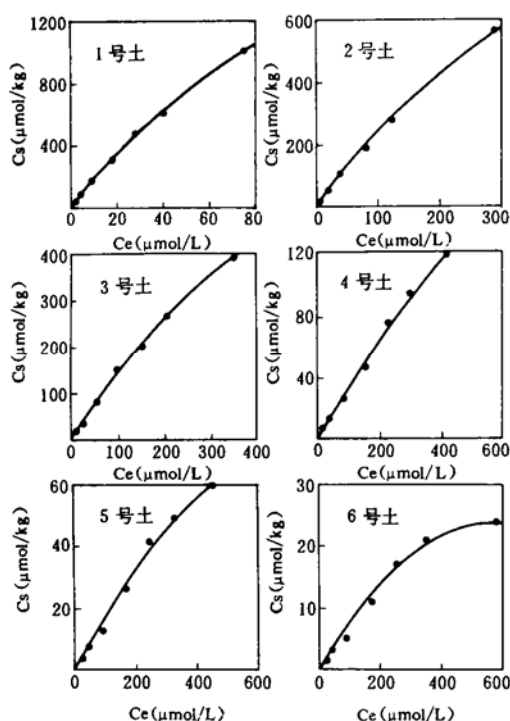


图3 绿草定在6类土壤上的吸附等温线

以Freundlich平衡吸附方程 $C_s = k_f C_e^{1/n}$ (其中 $C_s$ 为土壤对农药的吸附量 $\mu\text{mol}/\text{kg}$ ;  $C_e$ 为平衡吸附时液相中农药浓度 $\mu\text{mol}/\text{L}$ ;  $k_f$ 和 $n$ 为常数)拟合所得Freundlich常数见表2。

表2 绿草定在6类土壤上吸附的Freundlich常数

土壤编号	1	2	3	4	5	6
$k_f$	26.710	5.746	3.295	0.446	0.224	0.064
$1/n$	0.848	0.813	0.818	0.933	0.915	0.978
$\gamma^2$	0.998	0.998	0.997	0.997	0.980	0.962

6类土壤中有机物含量(OM%)次序为: $1'' > 2'' > 3'' > 4'' > 5'' > 6''$ ,与Freundlich常数 $k_f$ (表1)的大小次序一致,说明土壤有机物对绿草定的吸附性能较好。另一方面,作为吸附质的绿草定是一种有机酸。图4是改变土壤pH值对吸附的影响曲线,很清楚地说明这一点。另外,大量文献<sup>(5~8)</sup>指出,有机农药在土壤上的吸附的另一要素是土壤粘土含量(Clay%)。通过不同形式的方程拟合,以形式 $k_f = a \cdot \frac{3 \cdot OM\% + Clay\%}{pH^3} + b$ 有较好的相关性( $a = 47.78$ ,  $b = -103.12$ ,  $\gamma = 0.997$ ),而仅以OM%与 $k_f$ 拟合相关性( $\gamma = 0.926$ )不如前者。

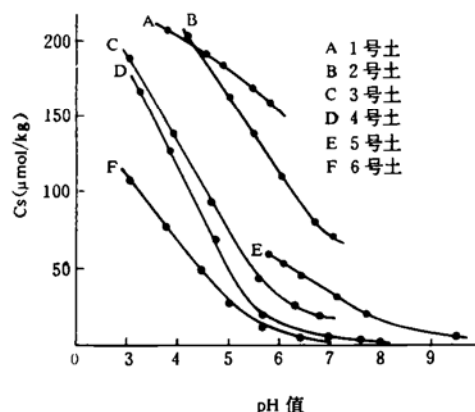


图4 土壤pH值对吸附的影响

### 2.2 纯腐殖酸、粘土矿上的吸附

以腐殖酸代表土壤有机质,纯蒙脱石代表土壤粘土矿。为进行比较,将腐殖酸和蒙脱石都制成 $\text{Ca}^{2+}$ 饱和形式。两种样品均加5mL $145.5\mu\text{M}$ 绿草定水溶液,经24h吸附平衡后测得它们的吸附量分别为2.74和 $0.46\mu\text{mol}/\text{g}$ 。很显然,土壤有机物对绿草定的吸附高于粘土矿6倍。但由于土壤有机物中除腐殖酸以外,还有富里酸(Fulvic Acids)、非酸腐殖质(Humin)。而后二者的吸附性能还不如前者<sup>(9)</sup>,这证实2.1中选择土壤有机物对绿草定的吸附是粘土矿的三倍贡献。

### 2.3 有机质和粘土矿上的吸附机理

著名土壤有机物研究专家Senesi指出<sup>(10)</sup>,

绿草定与土壤腐殖酸的吸附机理有以下几方面：一是形成离子键，这主要是在酸性条件下，吡啶N质子化带正电，这可以与腐殖酸中的成盐金属离子交换；二是形成氢键，羧酸基可与腐殖酸中的羟基、羧基形成分子间氢键；三是由于分子的偶极，亦可与腐殖酸产生偶极—偶极的亲合等。这些都是绿草定与土壤有机质可能的结合机理。

绿草定与粘土矿的吸附机理，由 $\text{Ca}^{2+}$ 、 $\text{K}^+$ 、 $\text{Na}^+$ 纯粘土自载膜与农药作用后的FTIR谱（图5）可见，绿草定羧基的 $\nu_{as}$ 、 $\nu_{sym}$ 谱线由较大移动（向低波数方向），说明绿草定与粘土作用后，羧基已不是自由的羧酸基，而是与粘土金属离子形成了复合物。

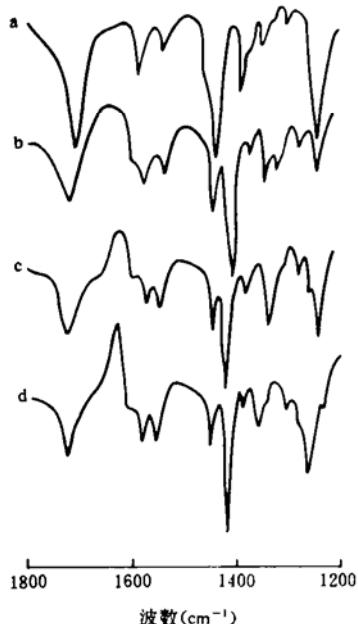


图5 绿草定处理后的单子离粘土矿的红外光谱图

- (a) 定草酸(KBr)
- (b)  $\text{Ca}^{2+}$ —粘土
- (c)  $\text{K}^+$ —粘土
- (d)  $\text{Na}^+$ —粘土

## 2.4 光化学降解

图6是绿草定在水溶液中，以主波长254nm灯及水溶液和加1%丙酮后在主波长300nm灯辐照下的降解曲线。有机物的光降解通常为假一级反应，以一级反应动力学方程处理得参数见表3。

表3 光解产物动力学参数

条件	$k$ ( $\text{min}^{-1}$ )	$t_{1/2}$ (min)	$\gamma^2$
245 nm	0.0120	57.8	0.9769
300 nm	0.0035	199.0	0.9941
300 nm*	0.0028	247.5	0.9941

注：\*加1%丙酮

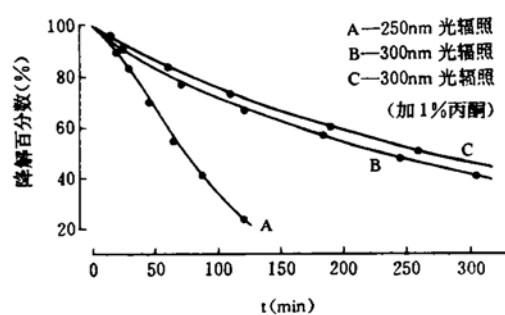


图6 光解曲线

可见254nm波长辐照对绿草定有较快的降解作用；300nm波长辐照也有降解作用，同样光强下，降解速率是前者的1/3.5；另外，添加1%丙酮，没有发现有加速绿草定降解效果。

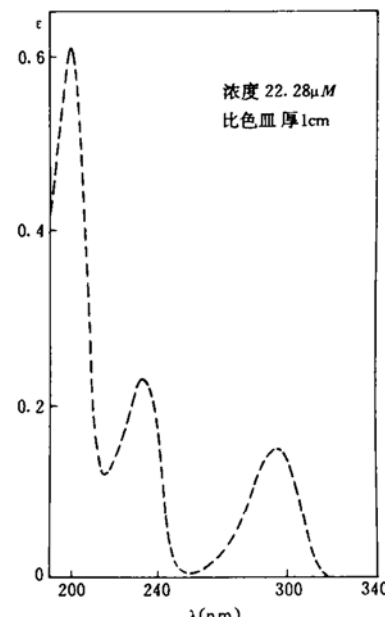


图7 绿草定的吸收曲线

从图7绿草定水溶液的吸收曲线可知,在195、233及295nm处有三个吸收峰,至330nm无吸收。所以,太阳光对绿草定的降解主要是330nm以下部分的光所起的作用。

### 3 小结

**3.1 土壤对绿草定的吸附与土壤理化特性关系很大。**pH值的影响很关键,有机质对绿草定的吸附作用大于粘土矿的作用。

**3.2 土壤与绿草定的相互作用,可能产生离子键、氢键、配位键和偶极—偶极作用等机理。**这是支配绿草定在土壤环境滞留、迁移及转化的主要因素。

**3.3 波长小于330nm的光对绿草定的降解有明显的作用。**实验指出:同样光强下,254nm波长的光对绿草定的降解速率是300nm波长的3.5倍。光解的半衰期分别为58min和199min。

### 参考文献

- 1 Worthing C R and Hance R J., *The Pesticide Manual (9th Edition)*, London, Published by The British Crop Protection Council, 1991. 884~885
- 2 Mortland M M., *Proc. Inter. Clay Conf.*, Mexico City, 1975. 469~473
- 3 徐晓白等编,有毒有机物环境行为和生态毒理论文集,北京:中国科学技术出版社,1990. 103~107
- 4 Crosby D G, *Non-biological degradation of herbicides in the soil*, Academic Press, London, 1976. 69~77
- 5 Kozak J, Weber J B and Sheets T J., *Soil Sci.*, 1983, 136(2): 94~101
- 6 刘维屏等, *环境科学学报*, 1991, 11(4): 458~467
- 7 Micera G, Pusino A, and Gessa C. *Clays and Clay Minerals*, 1988, 36(2): 354~358
- 8 Pusino A, Liu W P and Gessa C. *Clays and Clay Minerals*, 1993, 4(3): 335~340
- 9 Pusino A, Liu W P, Fang Z and Gessa C. *J. Agric. Food Chem.*, 1993, 41(3): 502~505
- 10 Senesi N., *Sci. Total Environ.*, 1992, 123/124(1): 63~78

### 作者简介

刘维屏 男,1958年7月生。硕士。现为浙江大学近代化学研究所常务副所长,副教授,博士生副导师。主要从事环境化学及有机分析化学研究。1990年6月至1992年11月在意大利萨萨里大学及博洛尼亚大学合作科研。近年来,主持了国家教委留学回国人员基金、省自然科学基金、国家自然科学基金等多项科研任务,发表论文50余篇(其中8篇获省自然科学优秀论文一、二等奖,6项研究获浙江大学科技成果奖)。1990年获浙江省第一届青年科技奖、浙江大学亿利达优秀教师奖。

## Environmental behaviour of pesticide —— adsorption and photolysis of the herbicide triclopyr in soil-water environment

Liu Weiping<sup>1</sup>, Wang Qiquan<sup>1</sup> and Fang Zhuo<sup>2</sup>

1. Department of Chemistry, Zhejiang University, Hangzhou 310027

2. Institute of Industrial ES&T, Zhejiang Province, Hangzhou 310005

**Abstract**—We studied the adsorption and photolysis of herbicide triclopyr in the soil—water environment. Adsorption was found to be better correlated with organic matter, clay minerals and pH; the Freundlich constant  $k_f = 47.58 \times (3 \cdot OM\% + Clay\%) / pH^3 - 103.12$  ( $\gamma = 0.997$ )。The interaction mechanisms between triclopyr and soil components were discussed, including ionic bonding, hydrogen bonding, covalent bonding et al. The photolysis of triclopyr follows first-order kinetics and photo-reaction rate with 254 nm irradiating is more than that with 300 nm irradiating.

**Key words:** triclopyr, adsorption on soil, humic acids, clay minerals, photolysis.